

ВЗАИМОДЕЙСТВИЕ НА КОНТАКТНОЙ ГРАНИЦЕ МЕДИ И ЦИРКОНИЯ, СВАРЕННЫХ ВЗРЫВОМ

A. M. Ставер, T. M. Соболенко, T. C. Тесленко
(*Новосибирск*)

В работе исследовалось соединение поверхностей медь — цирконий непосредственно после сварки взрывом и в процессе последующих отжигов полученного соединения.

Поверхности медь — цирконий соединялись по двум схемам сварки взрывом: 1) лист на лист (цирконий толщиной 1 мм на медь толщиной 5 мм), 2) цилиндр на стержень (циркониевый стержень \varnothing 1 мм и медный цилиндр \varnothing 5 мм) [1]. Из полученных заготовок вырезались образцы для металлографического анализа, замеров микротвердости, визуального наблюдения за поверхностью контакта в процессе нагрева на приборе «Вакутерм», а также рентгеноструктурного и рентгеноспектрального анализов.

Металлографический анализ шлифов металлов, соединенных взрывом, показал, что в случае листового соединения волны на поверхности контакта малы и нерегулярны, вихри и явно выраженные расплавы отсутствуют, схватывание качественное по всей поверхности (рис. 1). В случае цилиндрических образцов поверхность соединения имеет также некоторые волны, иногда наблюдаются застывшие расплавы и в них небольшие трещины и усадочные поры, по остальной контактной границе прилегание плотное (рис. 2).

Результаты замеров микротвердости показали, что при листовом соединении цирконий по сечению имеет практически твердость исходного проката, однако в зоне пластического течения на 10–50 мк от контакта упрочнен примерно на 10%, медь у контактной границы упрочнена существенно — на 20%, а вне ее твердость равна твердости исходного медного листа. В случае цилиндрического соединения цирконий у контактной границы упрочнен на 25 и на 10% по сечению. Медь упрочнена аналогично предыдущему случаю. Разница в упрочнении циркония обусловлена цилиндрической схемой нагружения, когда существенную роль играет не только течение на поверхности соударения, но и сходящиеся к центру ударные волны [1]. Твердость участков застывших расплавов высока ($\approx 800 Hv$), что характерно для интерметаллических соединений. Попытка с помощью травителей [2] определить, какие из возможных по диаграмме состояния интерметаллоидов образовались в данном случае, не удалась, так как четкого окрашивания или ограничения фаз, как в [2], не происходит. Расплав выглядит как однофазное целое, с причудливыми цветами побежалости серо-фиолетовых оттенков.

Микрорентгеноспектральным анализом, проведенным по методике [3], показано, что там, где нет видимого под микроскопом взаимодействия меди и циркония, граница между металлами резкая, без переходов, т. е. диффузия медь — цирконий отсутствует. Там, где есть расплав (участок в образце, сваренном по схеме 2), средний состав около 35% Zr и 65% Cu, переходного слоя из расплавов к металлам не обнаружено.

Контактная поверхность циркония после постепенного механического удаления меди исследовалась на фазовый состав с помощью рентгеноструктурного анализа. При этом на дебаеграммах, снятых с контактной поверхности листового соединения, никаких других линий, кроме принадлежащих меди и цирконию, зафиксировать не удалось. Дебаеграммы, снятые с цилиндрической поверхности циркония, кроме

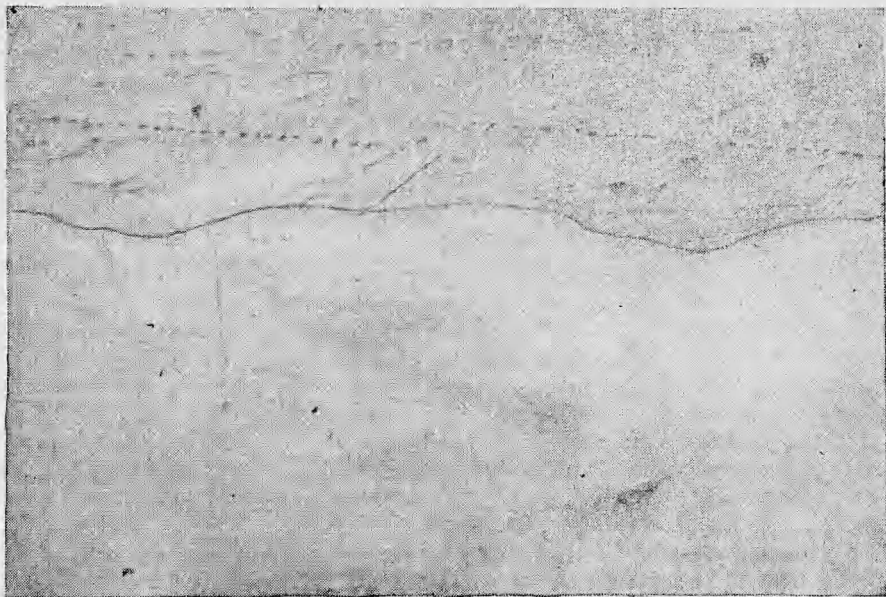


Рис. 1. Соединение медь — цирконий. Сварка взрывом; лист на лист, без травления. $\times 100$.

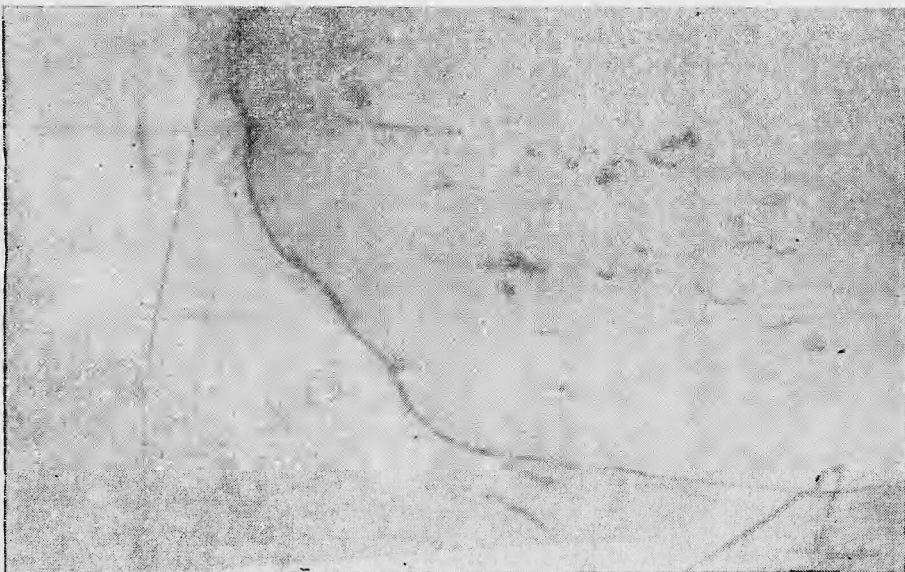


Рис. 2. Соединение медь — цирконий. Сварка взрывом; цилиндр и стержень. $\times 150$.

линий основных металлов, показывают наличие ω -фазы циркония, а также еще двух слабых линий (см. таблицу); ω -фаза циркония была обнаружена в [4], как фаза высокого давления в статике, которую в некоторых условиях можно сохранить при нормальной температуре и давлении. Появление в нашем случае статической фазы высокого давления может показаться несколько странным, так как в [5] при ударных деформациях получена другая «новая» фаза. Однако в нашем случае ω -фаза зафиксирована именно на контактной поверхности, где

Рентгеноструктурные исследования

Материал и место выборки анализа	Результаты расшифровки	Нерасшифрованные линии, межплоскостные расстояния <i>d</i> , Å
Контактные поверхности листового взрывного соединения	Cu, Zr	—
Контактные поверхности цилиндрического взрывного соединения	Cu, Zr, WZr	2,36; 1,71
Цирконий, полностью прореагировавший в расплаве с медью	Zr ₂ Cu	2,36; 1,81; 1,71
Прослойка, образованная в интервале 750—800°С	Cu, Zr	2,87; 2,59; 2,15; 1,93; 1,49; 1,26;
Поверхность разрушения от напряжения после 860°С (2 мин) а) на медной пластине	Zr ₂ Cu (следы)	2,39; 2,304; 2,15; 2,058; 1,98; 1,64; 1,58; 1,54; 1,48; 1,43; 1,375; 1,331; 1,281; 1,255; 1,17; 1,099; 3,23; 2,88; 2,58; 2,48;
б) на циркониевой пластине	Zr ₂ Cu	2,38; 2,31; 2,15; 1,98; 1,93; 1,81; 1,73; 1,64; 1,558; 1,554; 1,49; 1,43; 1,381; 1,30; 1,26;

существовало как высокое давление, так и значительная пластическая деформация, причем время существования давления было примерно на порядок больше, чем в случае листового соединения, когда ω -фазы зафиксировать не удалось. Таким образом, ω -фаза циркония может появиться не только при статическом всестороннем сжатии, но и при скоростной пластической деформации с большими давлениями.

В обзорной работе [6] показано, что изученность диаграммы состояния медь — цирконий недостаточная, поэтому представляет интерес поведение металлов в зоне контакта в процессе нагрева от комнатной температуры до плавления [7].

В настоящей работе проводился как ступенчатый нагрев образцов на 300, 500 и 700°С с выдержкой 30 мин и на 900°С с выдержкой 5 мин, так и более медленный нагрев со скоростью 10 градусов в минуту в интервале температур 300—900°С, когда остановки на определенной температурной точке производились, если под микроскопом наблюдалась значительные изменения в зоне контакта медь — цирконий. Нагрев осуществлялся излучением, вакуум составлял 10^{-4} — 10^{-5} мм рт. ст. Визуальные наблюдения велись непрерывно, фотографирование производилось выборочно.

Обнаружено, что начало взаимодействия системы цирконий — медь через контактную границу, полученную сваркой взрывом, лежит при 600°С. Значительный по времени рост прослойки начинается при 750°С, причем идет сильнее, если температура изменяется непрерывно. Контактная прослойка раздваивается параллельно контактной поверхности, когда становится более 50 мк толщины, и разбивается на столбчатые кристаллиты перпендикулярно границе контакта (рис. 3). Замечено, что фронт взаимодействия более интенсивно развивается в сторону циркония, особенно при появлении признаков плавления. Зафиксировано начало плавления цирконий — прослойка при 860°С (рис. 4), а по [8] самое легкоплавкое соединение имеет точку плавления 890°С. (Оговоримся, что это расхождение может быть вызвано тем, что опыты проводились на промышленных материалах: медь — М3, а в цирконии воз-

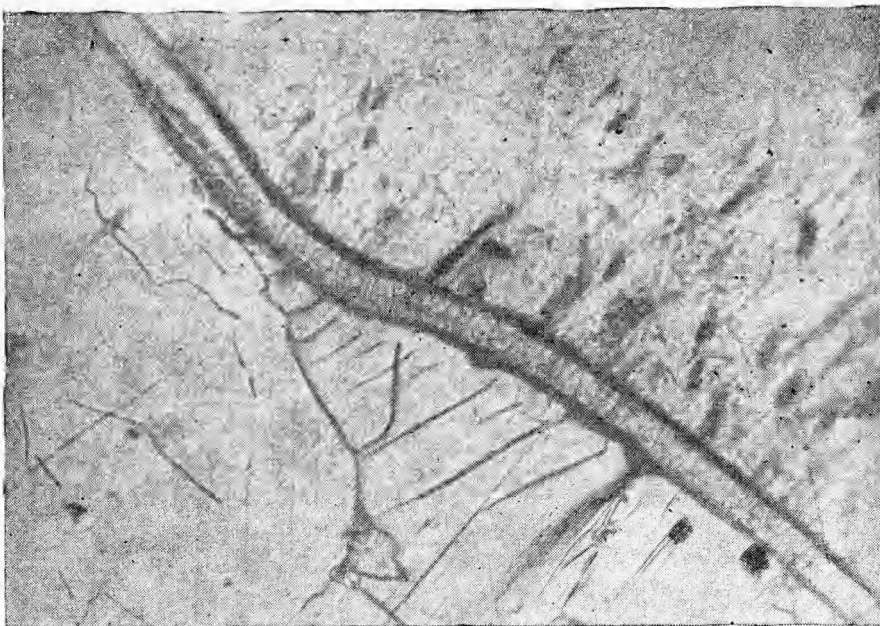


Рис. 3. Контактная прослойка между медью и цирконием, выросшая при температуре 750—800° С. $\times 150$.

можны примеси до 1%). Разница в коэффициентах линейного расширения меди образовавшейся прослойки и циркония, вероятно, настолько велика, что наблюдаются деформационные ступени на медной поверхности шлифа, а затем иногда и повторная рекристаллизация ранее равноосных зерен меди ($\approx 800^\circ \text{C}$). При охлаждении даже со скоростями 10°/мин в толстой прослойке образуются трещины и возникает напряжение приконтактных областей металлов, что ведет к увеличению микротвердости в них в 1,5 раза.

Рентгеноспектральный анализ показывает, что зона взаимодействия имеет состав $\approx 65\%$ меди и 35% циркония, независимо от того получена ли она путем плавления по контактной поверхности, нагревом при температуре ниже плавления или при сварке взрывом (отклонения от среднего состава 5—7%). Однако рентгеноструктурный анализ фиксирует существенную разницу кристаллических фаз, образующихся в каждом случае (см. таблицу).

В работе [9] имеется относительно полная расшифровка только соединения CuZr_2 , а остальные фазы определены только при металлографическом построении диаграммы состояния [2, 10, 11], причем относительно кристаллографической расшифровки этих фаз указано, что она представляет большие трудности. Нам также не удалось их преодолеть. По методике [2] фазы, возникшие при контактном взаимодействии, не определяются. Однако, исходя из результатов рентгеноструктурного анализа, можно сделать следующие выводы:

- 1) при плавлении возникает определенная система рефлексов, причем, как при взрывном соединении, так и при статическом плавлении. Однако после обычного нагрева присутствует также и фаза CuZr_2 , видимо, возникающая при относительно медленном охлаждении;
- 2) существование плавления у границы Zr — прослойка при 860°C подтверждается появлением линий, присущих расплаву (см. таблицу);
- 3) при нагреве в интервале 750—800° С взаимодействие идет за счет образования фазы на основе циркония. Этот вывод можно сделать, исходя из того, что после разрушения расслоенной прослойки

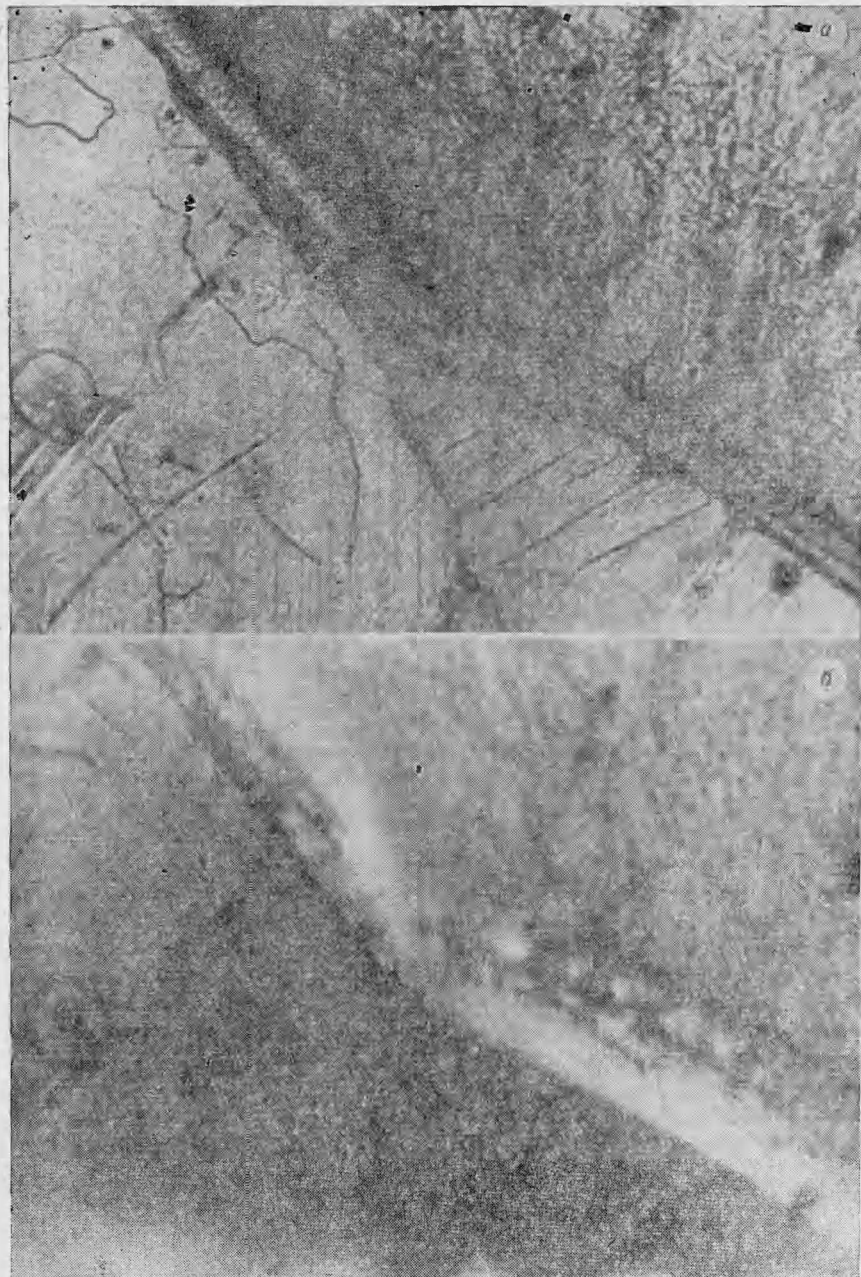


Рис. 4. Начало плавления на границе прослойка — цирконий.
а) 30 с, б) 2 мин.

идентичное положение линий фиксируется сильнее на пластине циркония, а на медной пластине зафиксировано, кроме того, много иных линий, видимо, принадлежащих другим фазам, растущим уже в толстой прослойке.

Таким образом, результаты рентгеноструктурного анализа находятся в хорошем соответствии с результатами наблюдений микроструктуры при высоких температурах.

Поступила в редакцию
13/II 1974

ЛИТЕРАТУРА

1. А. А. Дерибас. Физика упрочнения и сварки взрывом. Новосибирск, «Наука», 1972.
 2. G. E. Lundin, D. I. McPherson, M. Hansen. Trans. Met. Soc. AIME. 1953, **197**, 273.
 3. Г. В. Бердичевский, Т. М. Соболенко. Автоматич. сварка, 1968, **9**, 12.
 4. J. C. Jamieson. Science, 1963, **140**, 3562.
 5. Г. Н. Гермай, А. А. Баканова и др. ФТТ, 1970, **12**, 2.
 6. Е. М. Таракаева, О. С. Иванов. В сб. «Диаграммы состояния металлических систем». М., «Наука», 1971.
 7. Hirozo Kitigawa, Yukio Minoda. J. Jap. Inst. Metals, 1973, **37**, 5.
 8. М. Хансен, К. Андерко. Структуры двойных сплавов. Т. 2. М., Металлургиздат, 1962.
 9. Amer. society for testing materials, X-ray powder data file.
 10. E. Rauch. M. Engel. Z. Metallkunde, 1948, **39**, 127.
 - II. Л. Л. Рохлин, Н. Р. Бочвар, Е. В. Лысова. Изв. вузов, Цветные металлы, 1972, **4**.
-

УДК 537.566

ОПРЕДЕЛЕНИЕ ФУНКЦИИ РАСПРЕДЕЛЕНИЯ ЭЛЕКТРОНОВ ПО ЭНЕРГИЯМ И ПЛАЗМЕ ПЛАМЕНИ МЕТОДОМ ПРИРАЩЕНИЯ ПОСТОЯННОЙ СОСТАВЛЯЮЩЕЙ ЗОНДОВОГО ТОКА

А. С. Зайцев

(Днепропетровск)

Подавляющее большинство работ по определению функции распределения электронов по энергиям относится к газоразрядной плазме. Первые сведения получены в работе [1], где функция распределения определялась методом второй гармоники. Поскольку в литературе отсутствуют работы по определению функции распределения в плазме пламени, полученные нами и другими исследователями данные нельзя сопоставить и сравнить, имеет смысл найти функцию распределения способом, отличающимся от ранее примененного в работе [1].

В данном исследовании функция распределения $f(eU)$ определяется на основе использования формулы Дрювестейна [2]

$$f(eU) = \frac{2}{eSn} \sqrt{\frac{2mU}{e}} \frac{d^2I}{dU^2}, \quad (1)$$

где I — электронный ток на зонд; U — потенциал зонда относительно плазмы; S — площадь рабочей поверхности зонда; n — концентрация электронов; m — масса электрона; e — элементарный заряд.

Вторая производная зондового тока по потенциальному зонда находилась методом, впервые предложенным в работе [3]. На медленно изменяющееся напряжение зонда U накладывается слабый сигнал синусоидальной формы $\varepsilon = a \sin \omega t$. Если разложить модулированный электронный ток в ряд Тейлора, то получим

$$\begin{aligned} I(u + a \sin \omega t) = & I + \frac{a^2}{4} I^{II} + \frac{a^4}{64} I^{IV} + \left[aI^I + \frac{a^3}{8} I^{III} + \dots \right] \sin \omega t - \\ & - \left[\frac{a^2}{4} I^{II} + \frac{a^4}{64} I^{IV} + \dots \right] \cos 2\omega t - \left[\frac{a^3}{24} I^{III} + \dots \right] \sin 3\omega t + \dots . \end{aligned} \quad (2)$$